

**И. Нейман**

**Динамика авиационных двигателей**

**Москва**  
**«Книга по Требованию»**

УДК 656  
ББК 39.1  
И11

И11 **И. Нейман**  
Динамика авиационных двигателей / И. Нейман – М.: Книга по Требованию, 2024. – 489 с.

**ISBN 978-5-458-38303-5**

**ISBN 978-5-458-38303-5**

© Издание на русском языке, оформление  
«YOYO Media», 2024  
© Издание на русском языке, оцифровка,  
«Книга по Требованию», 2024

Эта книга является репринтом оригинала, который мы создали специально для Вас, используя запатентованные технологии производства репринтных книг и печати по требованию.

Сначала мы отсканировали каждую страницу оригинала этой редкой книги на профессиональном оборудовании. Затем с помощью специально разработанных программ мы произвели очистку изображения от пятен, клякс, перегибов и попытались отбелить и выровнять каждую страницу книги. К сожалению, некоторые страницы нельзя вернуть в изначальное состояние, и если их было трудно читать в оригинале, то даже при цифровой реставрации их невозможно улучшить.

Разумеется, автоматизированная программная обработка репринтных книг – не самое лучшее решение для восстановления текста в его первозданном виде, однако, наша цель – вернуть читателю точную копию книги, которой может быть несколько веков.

Поэтому мы предупреждаем о возможных погрешностях восстановленного репринтного издания. В издании могут отсутствовать одна или несколько страниц текста, могут встретиться невыводимые пятна и кляксы, надписи на полях или подчеркивания в тексте, нечитаемые фрагменты текста или загибы страниц. Покупать или не покупать подобные издания – решать Вам, мы же делаем все возможное, чтобы редкие и ценные книги, еще недавно утраченные и несправедливо забытые, вновь стали доступными для всех читателей.



## ЧАСТЬ I

# КИНЕМАТИКА КРИВОШИПНО-ШАТУННЫХ МЕХАНИЗМОВ

## Глава I

### КИНЕМАТИКА НОРМАЛЬНОГО КРИВОШИПНО-ШАТУННОГО МЕХАНИЗМА

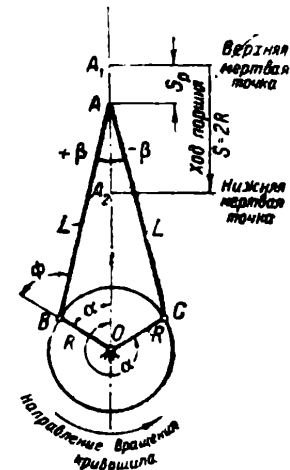
#### § 1. Основные понятия и обозначения

Нормальным кривошипно-шатунным механизмом называется такой, в котором ось цилиндра пересекает ось коленчатого вала. Схема этого механизма дана на фиг. 1. Координация всех кинематических и динамических процессов в кривошипно-шатунном механизме ведется по углу поворота кривошипа  $\alpha$ . Угол  $\alpha$  отсчитывается от некоторого начального положения кривошипа; за последнее в дальнейшем принимаем то положение кривошипа, при котором он совпадает с осью цилиндра, как это показано на фиг. 1.

Обычно считают, что угловая скорость вращения кривошипа  $\phi$  постоянна и угол  $\alpha$  изменяется пропорционально времени. Однако при рассмотрении некоторых специальных вопросов динамики двигателя, как, например, крутильных колебаний коленчатого вала, приходится учитывать, что угловая скорость  $\phi$  является величиной переменной. В последующем изложении, если не будет специальных оговорок, скорость  $\phi$  принимается величиной постоянной.

Введем следующие обозначения:

- $R$  радиус кривошипа;
- $L$  длина шатуна;
- $\lambda$  — отношение длины радиуса кривошипа к длине шатуна;
- $\alpha$  — угол поворота кривошипа от его начального положения; угол  $\alpha$  меняется от 0 до  $360^\circ$ ;
- $\beta$  — угол отклонения оси шатуна от оси цилиндра; угол  $\beta$  положителен, когда шатун отклонен от оси цилиндра в направлении вращения вала мотора; при положении шатуна по другую сторону оси цилиндра угол  $\beta$  отрицателен;
- $S_p$  — расстояние оси поршневого пальца от ее верхнего мертвого положения;
- $v_p$  — скорость поршня;
- $j_p$  — ускорение поршня;
- $\omega$  — угловая скорость вращения кривошипа;
- $n$  — число оборотов вала мотора в минуту;
- $t$  — время поворота кривошипа от его начального положения;
- $(v_p)_{cp}$  — средняя скорость поршня;
- $\Phi$  — угол отклонения оси шатуна от плоскости кривошипа;
- $\omega_i$  — угловая скорость вращения шатуна;
- $H_i$  — угловое ускорение шатуна.



Фиг. 1. Нормальный кривошипно-шатунный механизм.

## § 2. Угловые перемещение, скорость и ускорение шатуна

Угловая скорость вращения кривошипа будет

$$\frac{\pi}{30} n = \text{const.} \quad (1)$$

Угол поворота кривошипа от начального положения будет

$$\alpha = \omega t. \quad (2)$$

Из фиг. 1 мы имеем

$$\frac{\sin \beta}{\sin \alpha} = \frac{R}{L} = \lambda. \quad (3)$$

или

$$\sin \beta = \lambda \sin \alpha. \quad (4)$$

Тогда угловое перемещение шатуна равно

$$\beta = \arcsin (\lambda \sin \alpha). \quad (5)$$

Максимальные углы отклонения шатуна от оси цилиндра получаются при

$$\alpha = 90^\circ \text{ и } \alpha = 270^\circ$$

и определяются из уравнения

$$\sin (\beta_{\max}) = \pm \lambda. \quad (6)$$

Угловая скорость шатуна будет

$$\omega_L = \frac{d\beta}{dt} = \lambda \omega \frac{\cos \alpha}{\cos \beta}. \quad (7)$$

Максимальные значения  $\omega_L$  получаются при

$$\alpha = 0 \text{ и } \alpha = 180^\circ$$

и будут равны

$$(\omega_L)_{\max} = \pm \lambda \omega. \quad (8)$$

Нулевые значения угловой скорости шатуна

$$\omega_L = 0$$

будут при

$$\alpha = 90^\circ \text{ и } \alpha = 270^\circ,$$

т. е. в моменты максимальных отклонений шатуна в ту или другую сторону от оси цилиндра.

Угловое ускорение шатуна будет

$$\begin{aligned} \Theta_L &= \frac{d\omega_L}{dt} = \frac{d^2\beta}{dt^2} = \lambda \omega \frac{d\left(\frac{\cos \alpha}{\cos \beta}\right)}{dt} = \lambda \omega \frac{-\sin \alpha \frac{d\alpha}{dt} \cos \beta + \sin \beta \frac{d\beta}{dt} \cos \alpha}{\cos^2 \beta} = \\ &= \frac{\lambda \omega}{\cos^2 \beta} \left( -\omega \sin \alpha \cos \beta + \lambda \omega \sin \beta \cos \alpha \frac{\cos \alpha}{\cos \beta} \right) = \lambda \omega^2 \frac{\sin \alpha}{\cos^3 \beta} (-\cos^2 \beta + \lambda^2 \cos^2 \alpha) = \\ &= \lambda \omega^2 \frac{\sin \alpha}{\cos^3 \beta} (-1 + \lambda^2 \sin^2 \alpha + \lambda^2 - \lambda^2 \sin^2 \alpha) = -\lambda (1 - \lambda^2) \omega^2 \frac{\sin \alpha}{\cos^3 \beta}. \\ \Theta_L &= -\lambda (1 - \lambda^2) \omega^2 \frac{\sin \alpha}{\cos^3 \beta}. \end{aligned} \quad (9)$$

Максимальные значения  $\Theta_L$  получаются при

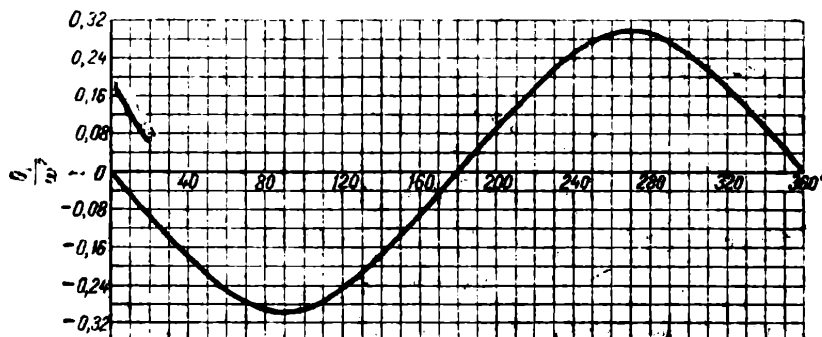
$$\alpha = 90^\circ \text{ и } \alpha = 270^\circ,$$

т. е. в моменты максимальных отклонений шатуна от оси цилиндра. При указанных значениях угла  $\alpha$  функция  $\sin \alpha$  принимает по абсолютной величине свое максимальное значение 1, а  $\cos \beta$ —свое минимальное значе-

дискр.  $\omega^2$ ; следовательно, дробь  $\frac{\sin \alpha}{\cos^2 \beta}$  принимает свое максимальное значение, а  $\Theta_L$  — свое максимальное значение  $(\Theta_L)_{\max}$ .

Имеем

$$(\Theta_L)_{\max} = \mp \frac{\lambda}{\sqrt{1-\lambda^2}} \omega^2. \quad (10)$$



Фиг. 2. Протекание функции  $\frac{\Theta_L}{\omega^2}$  для  $\lambda = \frac{1}{3,5}$

Членения  $\Theta_L = 0$  получаются при

$$\alpha = 0^\circ \text{ и } \alpha = 180^\circ,$$

т. е. в моменты совпадения оси шатуна с осью цилиндра.

На фиг. 2 дан закон протекания по углу поворота кривошипа  $\alpha$  функции  $\frac{\Theta_L}{\omega^2}$  для  $\lambda = \frac{1}{3,5}$ .

### § 3. Относительная угловая скорость вращения шатуна вокруг шатунной шейки коленчатого вала

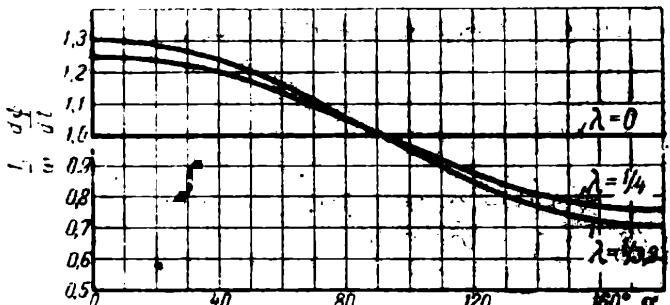
Согласно фиг. 1 имеем

$$\Phi = \alpha + \beta. \quad (11)$$

Отсюда, дифференцируя это уравнение по  $t$ , получим для относительной угловой скорости вращения шатуна вокруг шатунной шейки коленчатого вала выражение

$$\frac{d\Phi}{dt} = \omega \left( 1 + \lambda \frac{\cos \alpha}{\cos \beta} \right) \quad (12)$$

Фиг. 3. Протекание функции  $\frac{1}{\omega} \frac{d\Phi}{dt}$  для  $\lambda = \frac{1}{3,3}$ ,  $\lambda = \frac{1}{4,0}$  и  $\lambda = 0$ .



На фиг. 3 даны кривые

$\frac{d\Phi}{dt}$  как функции угла поворота  $\alpha$  для  $\lambda = \frac{1}{3,3}$ ,  $\lambda = \frac{1}{4}$  и  $\lambda = 0$ .

### § 4. Расстояние поршня от верхнего мертвого положения

Из фиг. 1 имеем

$$S_p = (R + L) - (R \cos \alpha + L \cos \beta), \quad (13)$$

но

$$\cos \beta = \sqrt{1 - \sin^2 \beta} = \sqrt{1 - \lambda^2 \sin^2 \alpha}, \quad (14)$$

следовательно,

$$S_p = (R + L) - R \left( \cos \alpha + \frac{1}{\lambda} \sqrt{1 - \lambda^2 \sin^2 \alpha} \right) \quad (15)$$

Разлагая выражение  $\sqrt{1 - \lambda^2 \sin^2 \alpha}$  в ряд по биному Ньютона, будем иметь

$$\begin{aligned} \sqrt{1 - \lambda^2 \sin^2 \alpha} &= 1 - \frac{1}{2} \lambda^2 \sin^2 \alpha - \frac{1}{2 \cdot 4} \lambda^4 \sin^4 \alpha - \\ &- \frac{1 \cdot 3}{2 \cdot 4 \cdot 6} \lambda^6 \sin^6 \alpha - \frac{1 \cdot 3 \cdot 5}{2 \cdot 4 \cdot 6 \cdot 8} \lambda^8 \sin^8 \alpha \end{aligned} \quad (16)$$

Так как при  $n$  четном имеет место соотношение

$$\begin{aligned} \sin^n \alpha &= \frac{1}{2^{n-1} i^n} \left[ \cos n \alpha - (n)_1 \cos(n-2) \alpha + (n)_2 \cos(n-4) \alpha - \dots + \right. \\ &+ (-1)^{\frac{n-1}{2}} (n)_{\frac{n-1}{2}} \cos 4\alpha + (-1)^{\frac{n-3}{2}} (n)_{\frac{n-3}{2}} \cos 2\alpha \left. \right] + (-1)^{\frac{n}{2}} (n)_{\frac{n}{2}} \left( \frac{1}{2^n i^n} \right), \end{aligned} \quad (17)$$

где

$$(n)_p = \frac{n(n-1)(n-2)\dots(n-(p-1))}{1 \cdot 2 \cdot 3 \dots p}, \quad (18)$$

то

$$\begin{aligned} \sin^2 \alpha &= \frac{1}{2} (1 - \cos 2\alpha), \\ \sin^4 \alpha &= \frac{1}{8} (\cos 4\alpha - 4 \cos 2\alpha + 3), \\ \sin^6 \alpha &= -\frac{1}{32} (\cos 6\alpha - 6 \cos 4\alpha + 15 \cos 2\alpha - 10), \\ \sin^8 \alpha &= \frac{1}{128} (\cos 8\alpha - 8 \cos 6\alpha + 28 \cos 4\alpha - 56 \cos 2\alpha + 35), \end{aligned} \quad \left. \right\} \quad (19)$$

и

$$\begin{aligned} \sqrt{1 - \lambda^2 \sin^2 \alpha} &= 1 - \left( \frac{1}{4} \lambda^2 + \frac{3}{64} \lambda^4 + \frac{5}{256} \lambda^6 + \frac{175}{128^2} \lambda^8 + \dots \right) + \\ &+ \left( \frac{1}{4} \lambda^2 + \frac{1}{16} \lambda^4 + \frac{15}{512} \lambda^6 + \frac{35}{2048} \lambda^8 + \dots \right) \cos 2\alpha - \\ &- \left( \frac{1}{64} \lambda^4 + \frac{3}{256} \lambda^6 + \frac{35}{4096} \lambda^8 + \dots \right) \cos 4\alpha + \\ &+ \left( \frac{1}{512} \lambda^6 + \frac{5}{2048} \lambda^8 + \dots \right) \cos 6\alpha - \\ &- \left( \frac{5}{128^2} \lambda^8 + \dots \right) \cos 8\alpha + \dots \end{aligned} \quad (20)$$

Обозначив

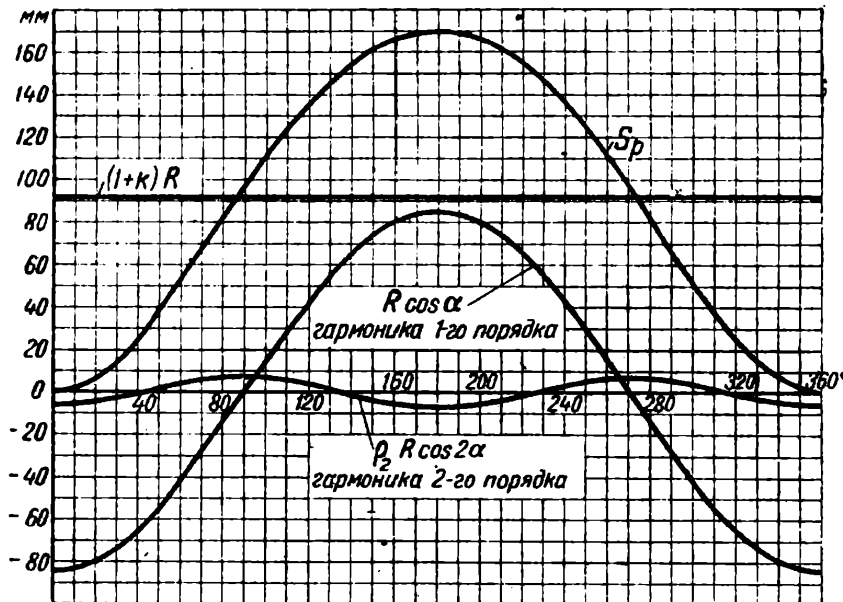
$$\begin{aligned} k &= \frac{1}{4} \lambda^2 + \frac{3}{64} \lambda^4 + \frac{5}{256} \lambda^6 + \frac{175}{128^2} \lambda^8 + \dots, \\ p_2 &= \frac{1}{4} \lambda^2 + \frac{1}{16} \lambda^4 + \frac{15}{512} \lambda^6 + \frac{35}{2048} \lambda^8 + \dots, \\ p_4 &= \frac{1}{64} \lambda^4 + \frac{3}{256} \lambda^6 + \frac{35}{4096} \lambda^8 + \dots, \\ p_6 &= \frac{1}{512} \lambda^6 + \frac{5}{2048} \lambda^8 + \dots, \\ p_8 &= \frac{5}{128^2} \lambda^8 + \dots, \end{aligned} \quad \left. \right\} \quad (21)$$

будем иметь

$$\begin{aligned} \frac{1}{\lambda} \sqrt{1 - \lambda^2 \sin^2 \alpha} &= \frac{1}{\lambda} - k + p_2 \cos 2\alpha - p_4 \cos 4\alpha + p_6 \cos 6\alpha - \\ &- p_8 \cos 8\alpha + \dots \end{aligned} \quad (22)$$

$$\begin{aligned}
 S_p = (R + L) - R \left( \cos \alpha + \frac{1}{\lambda} - k + p_2 \cos 2\alpha - p_4 \cos 4\alpha + \right. \\
 \left. + p_6 \cos 6\alpha - p_8 \cos 8\alpha + \dots \right) = R(1 + k) - R(\cos \alpha + \\
 + p_2 \cos 2\alpha - p_4 \cos 4\alpha + p_6 \cos 6\alpha - p_8 \cos 8\alpha + \dots). \quad (23)
 \end{aligned}$$

В табл. 1 приведены числовые значения коэффициентов  $k$ ,  $p_2$ ,  $p_4$ ,  $p_6$  и  $p_8$  для различных  $\lambda$ , вычисленные в предположении, что разложение по биному Ньютона выражения  $\sqrt{1 - \lambda^2 \sin^2 \alpha}$  [равенство (16)] ограничено членом, содержащим  $\sin^8 \alpha$ .



Фиг. 4. Кривая пути поршня по углу поворота кривошипа и гармоники, ее составляющие, для  $R = 8,5$  см и  $\lambda = \frac{1}{3,4}$ .

Как видно из табл. 1, амплитуды гармоник функции  $S_p$  [равенство (23)] постепенно уменьшаются с увеличением порядка гармоники. Так, например, для  $\lambda = \frac{1}{3,4}$  амплитуда гармоники 4-го порядка составляет только 0,042% амплитуды гармоники 1-го порядка. Поэтому с достаточной для практики точностью расстояние поршня от верхнего мертвого положения  $S_p$  определяется из уравнения

$$S_p = R \left[ \left( 1 + \frac{\lambda}{4} \right) - \left( \cos \alpha + \frac{\lambda}{4} \cos 2\alpha \right) \right]. \quad (24)$$

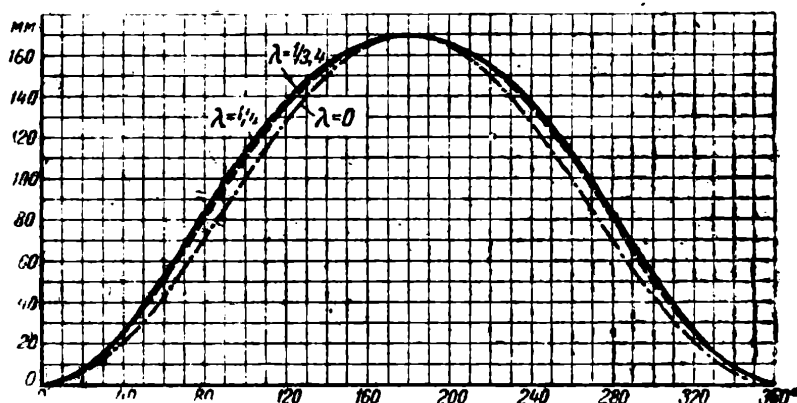
На фиг. 4 даны кривая пути поршня по углу поворота кривошипа и гармоники этой кривой согласно ряду Фурье (равенство (23)) для иллюстрации их влияния на величину пути. Кривые построены для

$$R = 8,5 \text{ см} \quad \text{и} \quad \lambda = \frac{1}{3,4}$$

Выражение (23) для  $S_p$  в виде ряда Фурье потребуется нам ниже для получения в форме ряда Фурье ускорения поршня. Как увидим дальше, такая форма выражения для ускорения поршня играет важную роль в вопросах динамики двигателя.

Таблица 1  
Значения коэффициентов  $k$ ,  $\rho_2$ ,  $\rho_4$ ,  $\rho_6$  и  $\rho_8$  для различных  $\lambda$

$\lambda$	$k$	$\rho_2$	$\rho_4$	$\rho_6$	$\rho_8$
$\frac{1}{3,4}$	0,0747	0,0753	0,000424	0,00000501	0,0000000582
$\frac{1}{3,5}$	725	729	388	417	475
$\frac{1}{3,6}$	704	708	355	352	366
$\frac{1}{3,7}$	686	689	326	307	322
$\frac{1}{3,8}$	667	670	301	267	267
$\frac{1}{3,9}$	649	652	277	234	222
$\frac{1}{4,0}$	632	635	256	205	186



Фиг. 5. Кривые пути поршня по углу поворота кривошипа  
для  $\lambda = \frac{1}{3,4}$ ,  $\lambda = \frac{1}{4,0}$  и  $\lambda = 0$  при  $R = 8,5$  см.

На фиг. 5 даны для сравнения кривые  $S_p$  для

$$\lambda = \frac{1}{3,4}, \quad \lambda = \frac{1}{4,0} \quad \text{и} \quad \lambda = 0.$$

### § 5. Скорость поршня

Скорость поршня  $v_p$  будет

$$v_p = \frac{dS_p}{dt} = \omega \frac{dS_p}{d\alpha}. \quad (25)$$

Подставляя в это равенство значение  $S_p$  из уравнения (13), получим точное выражение для  $v_p$  в виде

$$\begin{aligned} v_p &= \omega \left( R \sin \alpha + L \sin \beta \frac{d\beta}{d\alpha} \right) = \omega \left( R \sin \alpha + L \sin \beta \lambda \frac{\cos \alpha}{\cos \beta} \right) = \\ &= R\omega \left( \sin \alpha + \frac{\lambda}{2 \cos \beta} \sin 2\alpha \right), \\ v_p &= R\omega \left( \sin \alpha + \frac{\lambda}{2 \cos \beta} \sin 2\alpha \right). \end{aligned} \quad (26)$$

Другое точное выражение для скорости поршня получим преобразованием соотношения (26). Имеем

$$\begin{aligned}
 v_p &= R\omega \left( \sin \alpha + \frac{\lambda}{2 \cos \beta} \sin 2\alpha \right) = \\
 &= R\omega \left( \sin \alpha + \frac{1}{\cos \beta} \lambda \sin \alpha \cos \alpha \right) = \\
 &= \frac{R\omega}{\cos \beta} (\sin \alpha \cos \beta + \sin \beta \cos \alpha) = \\
 &= R\omega \frac{\sin(\alpha + \beta)}{\cos \beta} = \\
 v_p &= R\omega \frac{\sin(\alpha + \beta)}{\cos \beta}. \tag{27}
 \end{aligned}$$

Подставляя в равенство (25) выражение для  $S_p$  из равенства (23), будем иметь выражение для  $v_p$  в виде ряда Фурье

$$\begin{aligned}
 \psi_p &= \frac{dS_p}{dt} = R\omega (\sin \alpha + \\
 &+ 2p_2 \sin 2\alpha + 4p_4 \sin 4\alpha + \\
 &+ 6p_6 \sin 6\alpha + \\
 &+ 8p_8 \sin 8\alpha + \dots). \tag{28}
 \end{aligned}$$

В табл. 2 приведены числовые значения коэффициентов  $2p_2$ ,  $4p_4$ ,  $6p_6$  и  $8p_8$  для различных  $\lambda$ .

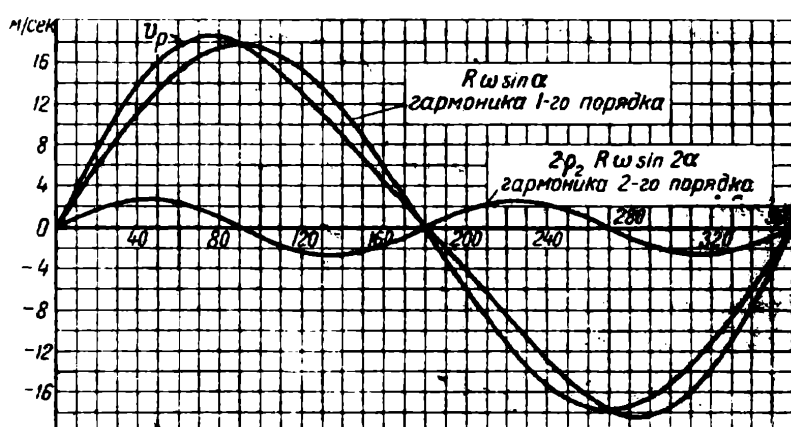
На фиг. 6 даны, для примера кривая скорости поршня по углу поворота кривошипа и гармоники этой кривой согласно ряду Фурье [равенство (28)] для выявления их влияния на величину скорости.

С достаточной для практики точностью скорость поршня определится из равенства

$$v_p = R\omega \left( \sin \alpha + \frac{\lambda}{2} \sin 2\alpha \right). \tag{29}$$

Значения коэффициентов  $2p_2$ ,  $4p_4$ ,  $6p_6$  и  $8p_8$  для различных  $\lambda$

$\lambda$	$2p_2$	$4p_4$	$6p_6$	$8p_8$
3,4	0,1506	0,00170	0,0000301	0,000008466
3,5	1458	155	250	340
3,6	1416	142	211	293
3,7	1378	130	184	258
3,8	1340	120	160	214
3,9	1304	111	140	178
4,0	1270	102	123	149



Фиг. 6. Кривая скорости поршня по углу поворота кривошипа и гармоники, ее составляющие, для  $R = 8,5$  см,  $\lambda = \frac{1}{3,4}$ ,  $\omega = 2000$  об/мин.

Средняя скорость поршня определяется из уравнения

$$(v_p)_{cp} = \frac{2Rn}{30} = \frac{2}{\pi} R\omega. \quad (30)$$

Отсюда скорость поршня может быть выражена в виде

$$v_p = \frac{\pi}{2} \left( \sin \alpha + \frac{\lambda}{2} \sin 2\alpha \right) (v_p)_{cp}. \quad (31)$$

Значение угла  $\alpha$ , при котором скорость поршня имеет максимальное значение, найдется из уравнения

$$\frac{dv_p}{d\alpha} = 0.$$

Это значение угла  $\alpha$  с практической достаточной точностью определяется, если для  $v_p$  взять приближенное выражение (29). Имеем

$$\frac{dv_p}{d\alpha} = R\omega (\cos \alpha + \lambda \cos 2\alpha) = 0$$

или

$$\cos \alpha + \lambda \cos 2\alpha = 0,$$

$$\cos \alpha + \lambda (2 \cos^2 \alpha - 1) = 0,$$

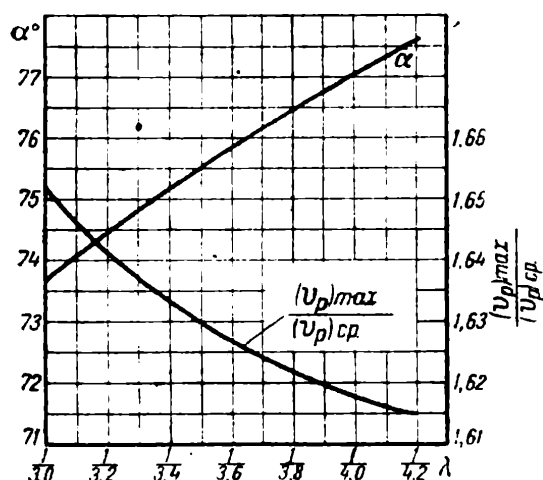
$$\cos^2 \alpha + \frac{1}{2\lambda} \cos \alpha - \frac{1}{2} = 0,$$

откуда

$$\cos \alpha = \frac{1}{4\lambda} (\sqrt{1 + 8\lambda^2} - 1). \quad (32)$$

Знак перед корнем берется положительным потому, что в противном случае, при обычных для двигателей численных значениях  $\lambda$ ,  $\cos \alpha$  получился бы по абсолютной величине больше 1.

В табл. 3 даны для различных  $\lambda$  углы  $\alpha = \alpha_1$ , при которых скорость поршня максимальна, а также приведены соответствующие значения



Фиг. 7. Кривые изменения угла  $\alpha$ , соответствующего моменту  $(v_p)_{max}$  и отношения  $\frac{(v_p)_{max}}{(v_p)_{cp}}$  в зависимости от  $\lambda$ .

скорость поршня максимальна, а также приведены соответствующие значения отношения

$$\frac{(v_p)_{max}}{(v_p)_{cp}} = \frac{\pi}{2} \left( \sin \alpha_1 + \frac{\lambda}{2} \sin 2\alpha_1 \right). \quad (33)$$

Таблица 3

Значения  $\alpha_1$  и  $\frac{(v_p)_{max}}{(v_p)_{cp}}$  для различных  $\lambda$

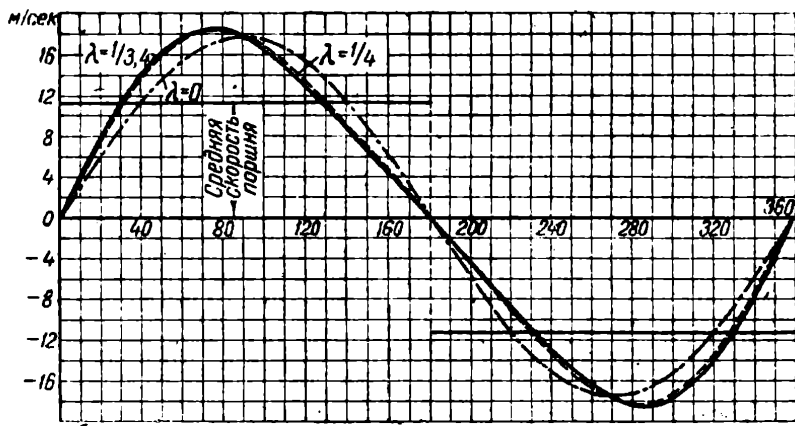
$\lambda$	1 3,4	1 3,5	1 3,6	1 3,7	1 3,8	1 3,9	1 4,0
	75° 10'	75° 33'	75° 50'	76° 09'	76° 26'	76° 46'	77°
$\frac{(v_p)_{max}}{(v_p)_{cp}}$	1,631	1,629	1,626	1,624	1,622	1,620	1,617

На фиг. 7 даны соответствующие графики этих величин как функции  $\lambda$ . Скорость поршня будет равна нулю в мертвых точках поршня. Соответствующие значения  $\alpha$  будут

$$\alpha = 0^\circ \text{ и } \alpha = 180^\circ.$$

На фиг. 8 даны для сравнения кривые скоростей поршня для

$$\lambda = \frac{1}{3,4}, \lambda = \frac{1}{4,0} \text{ и } \lambda = 0.$$



Фиг. 8. Кривые скоростей поршня для  $\lambda = \frac{1}{3,4}$ ,  $\lambda = \frac{1}{4,0}$  и  $\lambda = 0$ .

### § 6. Ускорение поршня

Ускорение поршня  $j_p$  будет

$$j_p = \frac{dv_p}{dt} = \omega \frac{dv_p}{d\alpha}. \quad (34)$$

Подставляя в это равенство выражение для  $v_p$  из равенства (27)

$$v_p = R\omega \frac{\sin(\alpha + \beta)}{\cos \beta}$$

получим точное выражение для  $j_p$  в следующем виде:

$$\begin{aligned} j_p &= R\omega^2 \left[ \frac{\cos(\alpha + \beta) \left( 1 + \frac{d\beta}{d\alpha} \right) \cos \beta + \sin \beta \frac{d\beta}{d\alpha} \sin(\alpha + \beta)}{\cos^2 \beta} \right] = \\ &= R\omega^2 \left[ \frac{\cos(\alpha + \beta)}{\cos \beta} + \frac{\cos(\alpha + \beta) \cos \beta + \sin(\alpha + \beta) \sin \beta}{\cos^2 \beta} \frac{d\beta}{d\alpha} \right] = \\ &= R\omega^2 \left[ \frac{\cos(\alpha + \beta)}{\cos \beta} + \frac{\cos \alpha}{\cos^3 \beta} \lambda \frac{\cos \alpha}{\cos \beta} \right] = R\omega^2 \left[ \frac{\cos(\alpha + \beta)}{\cos \beta} + \lambda \frac{\cos^3 \alpha}{\cos^3 \beta} \right]. \\ j_p &= R\omega^2 \left[ \frac{\cos(\alpha + \beta)}{\cos \beta} + \lambda \frac{\cos^3 \alpha}{\cos^3 \beta} \right] \end{aligned} \quad (35)$$

Выражение для  $j_p$  как функции угла  $\alpha$  в виде ряда Фурье получим, подставляя в равенство (34) выражение для  $v_p$  из равенства (28):

$$v_p = R\omega (\sin \alpha + 2\rho_2 \sin 2\alpha - 4\rho_4 \sin 4\alpha + 6\rho_6 \sin 6\alpha - 8\rho_8 \sin 8\alpha + \dots).$$

Имеем

$$\begin{aligned} j_p &= R\omega^2 (\cos \alpha + 4\rho_2 \cos 2\alpha - 16\rho_4 \cos 4\alpha + \\ &+ 36\rho_6 \cos 6\alpha - 64\rho_8 \cos 8\alpha + \dots). \end{aligned} \quad (36)$$

В табл. 4 даны числовые значения коэффициентов  $4\rho_2$ ,  $16\rho_4$ ,  $36\rho_6$  и  $64\rho_8$  для разных  $\lambda$ .

Таблица 4

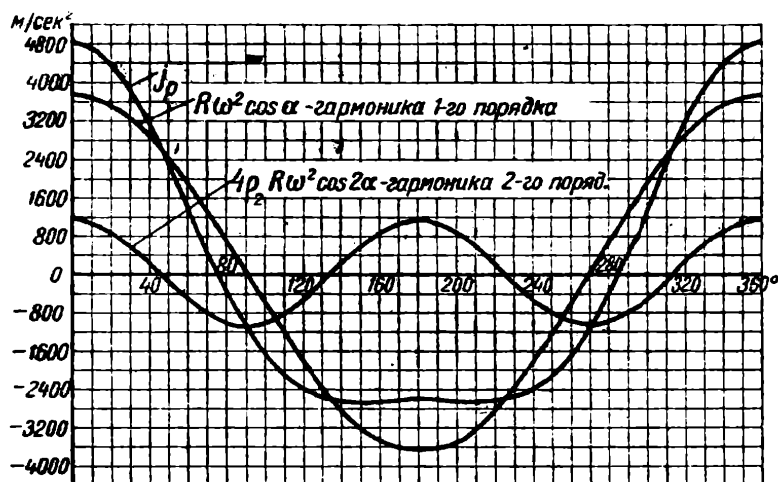
Значения коэффициентов  $4p_2$ ,  $16p_4$ ,  $36p_6$ , и  $64p_8$   
для различных  $\lambda$

$\lambda$	$4p_2$	$16p_4$	$36p_6$	$64p_8$
$\frac{1}{3,4}$	0,3012	0,00678	0,000180	0,00000372
$\frac{1}{3,5}$	2916	621	150	304
$\frac{1}{3,6}$	2832	568	127	234
$\frac{1}{3,7}$	2756	522	110	216
$\frac{1}{3,8}$	2680	482	0,0000961	171
$\frac{1}{3,9}$	2608	443	842	142
$\frac{1}{4,0}$	2540	410	738	119

Как видно из этой таблицы, амплитуды гармоник быстро убывают с возрастанием порядка гармоники. Так, например, для  $\lambda = \frac{1}{3,4}$  амплитуда гармоники 4-го порядка составляет 0,68%, а амплитуда гармоники 6-го порядка — только 0,018% от амплитуды гармоники 1-го порядка. Поэтому с достаточной для практики точностью ускорение поршня получим, ограничиваясь в ряде (36) гармоникой 2-го порядка и отбрасывая в коэффициенте  $p_2$  члены, содержащие  $\lambda$  в степени выше первой, т. е.

$$j_p = R \omega^2 (\cos \alpha + \lambda \cos 2\alpha). \quad (37)$$

На фиг. 9 даны в виде примера кривая ускорения поршня по углу поворота кривошипа и гармоники этой кривой согласно ряду Фурье [равенство (36)] для иллюстрации их влияния на величину ускорения. Кривые построены для  $R = 8,5$  см,  $\lambda = \frac{1}{3,4}$  и  $n = 2000$  об/мин.



Фиг. 9. Кривая ускорения поршня по углу поворота кривошипа и гармоники, ее составляющие, для  $R = 8,5$  см,  $\lambda = \frac{1}{3,4}$  и  $n = 2000$  об/мин.

Значения угла  $\alpha$ , при которых ускорение поршня максимально, найдутся из уравнения

$$\frac{dj_p}{d\alpha} = 0.$$